



## Analyzing the change in the concentration of pollutants during the covid-19 epidemic and presenting a model based on machine learning to predict air pollution

Abbas maleki<sup>a</sup>, Sadegh Abedi<sup>b\*</sup>, Alireza Irajpour<sup>b</sup>

<sup>a</sup>PH.D. Student, Faculty of Management and Accounting, Islamic Azad University, Qazvin Branch, Qazvin, Iran.

<sup>b</sup>Assistant Professor, Faculty of Management and Accounting, Islamic Azad University, Qazvin Branch, Qazvin, Iran.

Received: 22 August 2023

Revised: 10 December 2023

Accepted: 16 December 2023

### Abstract

In response to the Covid-19 pandemic, governments worldwide implemented crisis management strategies to reduce emissions from traffic sources. This study examines changes in air pollutant concentrations and traffic volume—considered subsets of the environmental index of sustainable urban development—during the Covid-19 epidemic, comparing them with the pre-epidemic period from January 21, 2018, to March 20, 2022. The primary objective of this research is to compare pollutant concentrations during the epidemic with those of the pre-pandemic period and to develop a model for predicting the Air Quality Index (AQI) in Iran's metropolitan cities.

First, collected pollutant data from Iran's metropolises were processed and cleaned. Following feature selection using the Particle Swarm Optimization (PSO) algorithm, machine learning methods were applied to analyze the data. The results reveal that no consistent pattern of increase or decrease in pollutant concentrations was observed across all metropolitan cities during the Covid-19 pandemic compared to the pre-pandemic period. The effects of restrictions on pollutant concentrations varied significantly across different cities.

To manage both the pandemic crisis and the associated air pollution crisis, which may exacerbate the spread of disease, it is essential to design traffic restriction models tailored to the specific conditions of each urban location. Additionally, the findings indicate that the Air Quality Index in most of Iran's major cities did not decrease during the pandemic; in fact, it increased. Therefore, targeted and precise measures must be adopted to manage similar crises in the future. Such measures should aim to reduce pollutant concentrations and improve the air quality index, taking into account the geographical characteristics of each city.

**Keywords:** Air quality index(AQI), Traffic Emission, covid-19 Pandemic, machine learning Models, Urban Air Pollution, Environmental Impact Assessment.

\*.Corresponding author: Sadegh Abedi Email:Abedi.sadegh@ gmail.com Tel:+989128173662

**How to cite this Article:** Maleki, A., Abedi, S., & Airajpour, A. (2024). Data analysis of the environmental index of sustainable urban development affected by the crisis of the Covid-19 epidemic in eight Iranian metropolises. *Journal of Geography and Environmental Hazards*, 13(3),310-338





©2024 The author(s). This is an open access article distributed under Creative Commons Attribution 4.0 International License (CC BY 4.0)




## تحلیل تغییر غلظت آلاینده‌ها در دوره همه‌گیری کووید-۱۹ و ارائه الگوی مبتنی بر

### یادگیری ماشین جهت پیش‌بینی آلودگی هوا

عباس ملکی - دانشجوی دکترا، رشته مدیریت صنعتی، دانشکده مدیریت و حسابداری، دانشگاه آزاد اسلامی واحد قزوین، قزوین، ایران. 

صادق عابدی<sup>۱</sup> - استادیار، دانشکده مدیریت و حسابداری، دانشگاه آزاد اسلامی واحد قزوین، قزوین، ایران. 

علیرضا ایرج‌پور - استادیار، دانشکده مدیریت و حسابداری، دانشگاه آزاد اسلامی واحد قزوین، قزوین، ایران. 

تاریخ دریافت: ۱۴۰۲/۵/۳۱ تاریخ بازنگری: ۱۴۰۲/۹/۱۹ تاریخ پذیرش: ۱۴۰۲/۹/۲۵

#### چکیده

در پاسخ به همه‌گیری کووید-۱۹، دولت‌ها در سراسر دنیا به دنبال ارائه راهکاری در راستای مدیریت بحران برای کاهش انتشار آلاینده‌ها ناشی از منابع ترافیکی بودند. از این رو، تصمیم بر آن شد که تغییرات آلاینده‌های هوا و حجم ترافیک به‌عنوان یکی از زیرمجموعه‌های شاخص زیست‌محیطی توسعه پایدار شهری در زمان همه‌گیری کووید-۱۹ و مقایسه آن با دوره قبل از همه‌گیری در بازه زمانی ۱۳۹۶/۱۱/۰۱ تا ۱۴۰۰/۱۲/۲۹ مورد بررسی قرار گیرد. هدف از این پژوهش، مقایسه غلظت آلاینده‌ها در دوره همه‌گیری با دوره قبل از آن و همچنین ارائه الگو برای پیش‌بینی شاخص کیفیت هوا در کلان‌شهرهای ایران است. ابتدا داده‌های جمع‌آوری شده آلاینده‌ها از کلان‌شهرهای ایران پردازش و پاکسازی شدند. بعد از انتخاب ویژگی‌ها با الگوریتم بهینه‌سازی ازدحام ذرات، روش‌های یادگیری ماشین اعمال شد. نتایج نشان می‌دهد الگوی افزایشی و یا کاهشی یکسانی در غلظت آلاینده‌ها در دوران کووید-۱۹ نسبت به قبل از آن، در تمامی کلان‌شهرها دیده نمی‌شود و تأثیر محدودیت‌ها بر روی غلظت آلاینده‌ها در شهرهای مختلف، متفاوت است؛ بنابراین لازم است جهت مدیریت این بحران و همچنین بحران آلودگی هوا که می‌تواند در انتشار بیماری نقش چشمگیری داشته باشد، برای هر موقعیت شهری، الگوی محدودیت‌های ترافیکی مختص آن موقعیت تهیه گردد. همچنین نتایج بیانگر این است شاخص کیفیت هوا در اکثر کلان‌شهرهای ایران نه تنها کاهش نداشته، بلکه افزایش یافته

است؛ بنابراین می‌بایست تدابیر دقیقی برای مدیریت هرگونه بحران مشابه در آینده در جهت کاهش غلظت آلاینده‌ها و بهبود شاخص کیفیت هوا با توجه به موقعیت مکانی و جغرافیایی هر شهر در نظر گرفته شود.

**کلیدواژه‌ها:** شاخص کیفیت هوا (AQI)، انتشارهای ترافیکی، همه‌گیری کووید-۱۹، مدل‌های یادگیری ماشین، آلودگی هوای شهری، ارزیابی اثرات زیست‌محیطی.

#### مقدمه

همه‌گیری کووید-۱۹ باعث بروز بحران عمومی (Shangguan, Wang & Sun, 2020) در بهداشت و سلامت شد و تکانه‌ای بزرگ بر بشریت وارد کرد. گسترش جهانی پاندمیک Covid-19 در اوایل سال ۲۰۲۰، بزرگ‌ترین بحران بهداشتی در سال‌های اخیر بوده است حتی در مقایسه با آنفولانزای اسپانیایی اوایل قرن بیستم (Sanchez-Lorenzo et al., 2021 ; Munnoli, Nabapure & Yeshavanth, 2020).

بحران کووید ۱۹ صرفاً بحرانی بهداشتی نیست، بلکه بحرانی اقتصادی و اجتماعی تمام‌عیار است که بر زندگی و معیشت میلیاردها انسان تأثیر می‌گذارد و به تصمیم‌گیری در بحران نیاز دارد (Clark & Gruending, 2020). شهرنشینی یکی از دگرگون‌کننده‌ترین فرآیندهای زمان بوده است و با مهاجرت بیشتر مردم به شهرها، نیاز فزاینده‌ای به استراتژی‌های توسعه پایدار شهری به وجود آمد که رشد اقتصادی، حفاظت از محیط‌زیست و رفاه اجتماعی را متعادل می‌کند. درعین‌حال، زمینه مطالعات و برنامه‌ریزی شهری به‌سرعت در حال تحول است و چالش‌هایی برای شهرها به‌صورت روزمره به همراه دارد (Shen, Ochoa & Bao, 2023). آلودگی هوا یک تهدید قابل‌توجه برای سلامت انسان و یک عامل فزاینده بیماری و مرگ‌ومیر در سراسر جهان است. بسیاری از آلاینده‌های هوا که بر سلامت انسان تأثیر منفی می‌گذارند، ناشی از انتشار گازهای گلخانه‌ای مرتبط با احتراق از منابع مختلف از جمله ترافیک و تولید برق هستند (Huangfu & Atkinson, 2020).

ترافیک بخش قابل‌توجهی از آلاینده‌های احتراق در بسیاری از مناطق شهری است و نشان داده شده که تا ۳۴ درصد از ذرات معلق، ۶۱ درصد از  $\text{NH}_3$ ، ۲۵ درصد از اوزون و ۵۰ درصد از انتشار EPA را تشکیل می‌دهد. علی‌رغم شواهدی مبنی بر نقش احتراق ترافیک در آلاینده‌های هوا، مشخص نیست که تا چه اندازه استراتژی‌های مدیریت ترافیک می‌توانند کیفیت هوای شهری را به دلیل فقدان ارزیابی از استراتژی‌های اجرا

شده بهبود بخشند (Hay et al., 2023). سیستم حمل‌ونقل مدرن از تعداد زیادی وسیله نقلیه شخصی تشکیل شده است. به‌عنوان مثال، در ایالات‌متحده، در سال ۲۰۱۵، ۲۶۴ میلیون وسیله نقلیه ثبت شده بود. با توجه به این اعداد، ازدحام ترافیک، مصرف سوخت و انتشار گازهای گلخانه‌ای به یک مشکل جدی تبدیل شده است. براساس داده‌های فوربس، ازدحام ترافیک برای شهرهای ایالات‌متحده در سال ۲۰۱۹ بیش از ۸۸ میلیارد دلار هزینه در بر داشته است (Forbes, 2020). همچنین قرنطینه‌ها در طول همه‌گیری کووید-۱۹، فرصتی برای کمک به پر کردن این شکاف از طریق تغییر بی‌سابقه در الگوهای ترافیکی فراهم کردند. در کره جنوبی، ترافیک ۹.۷ درصد و در ایالات‌متحده، ترافیک به ۴۰-۶۵ درصد کاهش یافت. کیفیت هوا نیز در این دوره با کاهش مشاهده شده در آلاینده‌های هوا در بسیاری از شهرها و کشورها در سراسر جهان تغییر کرد، مانند کاهش ۲۵ درصد مشاهده شده در ذرات معلق با قطر کوچک‌تر از ۲.۵ میکرون<sup>۱</sup> در شهرهای شمال چین و کاهش ۳۲ درصد از NO<sub>2</sub> در انگلستان (Hay et al., 2023).

در ادبیات پژوهش، مطالعاتی در خصوص رابطه بین ترافیک و آلودگی هوا در طول قرنطینه کووید-۱۹ ارزیابی شده است. با این حال، ارتباط بین کاهش ترافیک و کیفیت هوا در طول قرنطینه کووید-۱۹ همیشه در سراسر جهان واضح یا یکنواخت نبود. کاهش ۵۳ تا ۶۰ درصد آلاینده‌های هوا از منابع ترافیکی (مونواکسید کربن<sup>۲</sup> و دی‌اکسید نیتروژن<sup>۳</sup>) در طول قرنطینه در نانجینگ چین وجود داشت (Wang et al., 2021) و در سامرویل ایالات‌متحده، کاهش غلظت ذرات بسیار ریز (۴۵-۶۹ درصد) و کربن سیاه (۲۲-۴۶ درصد) وجود داشت که مرتبط با میزان ترافیک بود (Hudda, Simon, Patton & Durant, 2020) علاوه بر این، کاهش ترافیک (۴۸-۶۰ درصد) در شش شهر ایتالیا در کنار کاهش (۲۵-۵۹ درصد) NO<sub>2</sub> و (۱۷-۳۲ درصد) PM مشاهده شد (Gualtieri et al., 2020) و در کالیفرنیا، کاهش ترافیک (۲۵۴-۳۹ درصد)، در کنار کاهش مونواکسید نیتروژن<sup>۴</sup> (۳۲-۳۵ درصد) و NO<sub>2</sub> (۱۵-۲۹ درصد) مشاهده شد (Liu, Lipsitt, Jerrett & Zhu, 2020). ترافیک باعث کاهش آلاینده‌های (PM, NO, NO<sub>2</sub>, NO<sub>x</sub>) بین ۳ تا ۱۲ درصد در سیاتل شد

1. Particulate Matter 2.5 (PM<sub>2.5</sub>)

2. Carbon Monoxide (CO)

3. Nitrogen Dioxide (NO<sub>2</sub>)

4. Nitrogen Monoxide (NO)

(Xiang et al., 2020) و هیچ کاهش قابل مشاهده‌ای در  $PM_{2.5}$  و  $NO_2$  در ممفیس ایالات متحده مشاهده نشد، با اینکه ترافیک ۵۷ درصد کاهش یافته است (Jia, Fu, Bartelli & Smith, 2020). کشور ما ایران، مدت‌ها است که با مشکل آلودگی هوا مواجه است. این آلودگی که پیش‌تر و تحت تأثیر تمرکز جمعیت، منحصر به تهران بود، در سال‌های پیشین در سایر شهرهای ایران نیز به شدت افزایش یافته است؛ تا جایی که در آخرین آمار منتشر شده از آلوده‌ترین شهرهای جهان در سال ۲۰۱۳ از سوی سازمان جهانی بهداشت، نام چندین شهر از ایران در رتبه‌های نخست این فهرست به چشم می‌خورد؛ بنابراین بررسی آلودگی هوا به منظور مدیریت بحران در دو حوزه کنترل همه‌گیری و غلظت آلاینده‌ها به خصوص در کلان‌شهرها بسیار حائز اهمیت است. اخیراً نیز مرکز پژوهش‌های مجلس شورای اسلامی ایران اعلام کرد که خسارت سالانه کشور از آلودگی هوا بیش از ۹ میلیارد دلار است که این مبلغ بیش از ۲ برابر بودجه وزارت آموزش و پرورش به‌عنوان بزرگ‌ترین وزارتخانه کشور است. به‌طور کلی می‌توان گفت آلودگی هوا سبب افزایش بیماری، کاهش رضایت اجتماعی و همچنین موجب افزایش مرگ‌ومیر افراد دارای بیماری زمینه‌ای می‌گردد که همین موضوع می‌تواند آسیب‌های اجتماعی را به دنبال داشته باشد. طبق آمار وزارت بهداشت، سالانه شاهد هزاران سال عمر از دست‌رفته به دلیل آلودگی هوا برای مردم ایران هستیم که این موضوع جای تأمل دارد از این‌رو با توجه به توضیحات فوق و همچنین با توجه به اینکه آلودگی هوا می‌تواند بر سایر سیستم‌ها از قبیل آموزش، بهداشت، تولید، صنعت، اقتصاد و .... تأثیرگذار باشد، مسئله اصلی در پژوهش حاضر این است که پس از بررسی تغییر غلظت آلاینده‌ها تحت تأثیر محدودیت‌های ترافیکی اعمال شده در دوره همه‌گیری کووید - ۱۹ و توصیف الگوهای حاصل از داده‌کاوی، سازمان‌های ذی‌ربط بتوانند برنامه‌ریزی جهت محدودیت‌های ترافیکی را به نحوی مدیریت کنند که آسیب‌های ناشی از آلودگی هوا در کلیه حوزه‌ها به حداقل ممکن برسد؛ بنابراین سؤالات پژوهش را می‌توان این‌گونه مطرح کرد که: محدودیت‌های ترافیکی اعمال شده در دوره همه‌گیری کووید-۱۹ چه تأثیری بر غلظت آلاینده‌ها داشته است؟ ارائه الگوی یکسان برای همه کلان‌شهرهای مورد پژوهش امکان‌پذیر است؟

مطالعاتی در شهرهای مختلف جهان برای درک تأثیر قرنطینه کووید-۱۹ بر روی سطوح غلظت متغیرهای آلاینده هوا انجام شده است. مطالعات بر روی مدت‌زمان، درصد کاهش غلظت آلاینده‌ها، حجم ترافیک،

میزان میرگ و میر و مکان و روش‌های جمع‌آوری داده‌ها انجام شده است که در ادامه به برخی از آن‌ها اشاره می‌شود.

گونزالس پاردو و همکاران (González-Pardo, Ceballos-Santos, Manzananas, Santibáñez & Fernández-[Olmo, 2022](#)) در پژوهش خود به تخمین تغییرات سطوح آلودگی هوا ناشی از کووید-۱۹ با استفاده از تکنیک داده‌کاوی پرداختند که در آن پارامترهای  $NO$ ،  $NO_2$ ،  $O_3$ ،  $PM_{2.5}$  و  $PM_{10}$  را مورد بررسی قرار داده بودند. در این پژوهش که سال ۲۰۲۰ به پنج دوره پیش از قرنطینه، قرنطینه، تشدید، عادی و قرنطینه مجدد تقسیم شده بود، مشاهده شد که پارامتر  $NO_x$  بیش از ۵۰ درصد کاهش یافت، پارامتر  $O_3$  در تضاد با پارامتر  $NO_x$ ، ۲۳.۹ درصد افزایش یافت و همچنین پارامترهای  $PM_{10}$  و  $PM_{2.5}$  نیز دارای کاهش جزئی به میزان ۴.۱ درصد و ۲.۳ درصد بودند که نشان‌دهنده تأثیرپذیری کم پارامترهای  $PM_{10}$  و  $PM_{2.5}$  از منابع ترافیک و قرنطینه است. ساهاران و همکاران ([Saharan et al., 2022](#)) در پژوهشی، عوامل تغییر آلودگی هوا را در موج دوم کووید-۱۹ در دهلی هند مورد بررسی قرار دادند که در این پژوهش مشخص شد که در سال ۲۰۲۲، غلظت آلاینده‌ها شامل  $PM_{10}$ ،  $PM_{2.5}$ ،  $NH_3$ ،  $NO_x$ ،  $CO$ ، بزن و تولوئن در طول منع رفت‌وآمد شبانه در مقایسه با دوره قبل از قرنطینه به میزان ۴ تا ۱۶ درصد کاهش یافت که این تغییرات بسته به اینکه محدودیت‌های مربوط به کووید-۱۹ در طول شب یا روز اعمال شده بود و اینکه چه فعالیت‌هایی محدود بود، بسته به زمان روز، متفاوت بود. نکته قابل توجه، عدم کاهش پارامترهای  $O_3$  و  $SO_2$  در این دوره بود. در مقایسه با دوره قرنطینه مشابه در سال ۲۰۲۰، به جز پارامتر  $O_3$ ، در سایر پارامترها، به میزان ۳۱ تا ۱۲۹ درصد افزایش مشاهده شد. ژنگ و وانگ ([Zeng & Wang., 2022](#)) اعلام نمودند که هدف آن‌ها ویژگی‌های زمانی و ناهمگونی مکانی تغییرات کیفیت هوا به دلیل قرنطینه کووید-۱۹ در چین بود و از مدل  $RDiT$ ، داده‌های سری زمانی شاخص کیفیت هوا<sup>۱</sup>، غلظت آلاینده‌های هوا و عوامل هواشناسی برای تعیین کمیت تأثیر همه‌گیری بر کیفیت هوا استفاده شد. همه آلاینده‌ها به غیر از  $O_3$  کاهش یافتند.  $PM_{2.5}$  در ۸۹.۵ درصد شهرها نسبت به اقدامات قرنطینه حساس بودند و شهرهای غیرحساس عمدتاً در مناطق دورافتاده قرار داشتند.

<sup>1</sup>. Air quality index (AQI)

غلظت  $PM_{2.5}$ ،  $O_3$ ،  $NO_2$ ،  $PM_{10}$ ،  $SO_2$  و  $CO$  به ترتیب ۳۴.۹، ۸۸.۴، ۲۷.۳، ۶۰.۸ و ۱۱ میکروگرم بر مترمربع و ۰.۸ میلی‌گرم بر مترمکعب در سناریوی بدون همه‌گیری بودند. آلاوا و سینگ (Alava & Singh., 2022) بیان کردند تغییر در انتشار میزان  $CO_2$  با افزایش و یا کاهش قرنطینه با استفاده از تصاویر و داده‌های سازمان ملی هوانوردی و فضایی موردبررسی قرار گرفته است. در این پژوهش، صرفاً یکی از آلاینده‌ها در نظر گرفته شده است و با استفاده از روش فوق به توصیف شرایط در دو حالت افزایش و کاهش قرنطینه پرداخته شده است و موضوع پیش‌بینی در این پژوهش نیز مطرح نیست. برخی دیگر از مطالعات صورت گرفته در مرتبط با پژوهش حاضر در جدول ۱ ارائه شده است. هدف از این پژوهش، کمک به مدیریت بحران با ارائه الگویی برای نظارت بر آلاینده‌های هوا و حجم ترافیک با اقدامات مؤثر از قرنطینه کووید-۱۹ است.

نوآوری این پژوهش بر روی موارد ذیل متمرکز می‌گردد:

۱. محاسبه تغییرات نسبی دوره‌های مختلف که نشان‌دهنده اقدامات محدودکننده در دوره کووید-۱۹ هستند.
۲. ارائه الگویی مبتنی بر روش داده‌کاوی که برای توصیف رابطه همه‌گیری کووید-۱۹ و شاخص آلودگی هوا در توسعه پایدار شهری استفاده می‌شود.
۳. الگوی پیشنهادی برای پیش‌بینی آلودگی ناشی از حمل‌ونقل در محدودیت‌های ترافیکی بکار می‌رود.

جدول ۱- پیشینه پژوهش

**Table 1- Research background**

روش انجام کار Methodology	نتیجه Result	سال انتشار Year of Publication	عنوان مقاله Article Title	نویسنده مقاله Author
ابتدا مدل‌های رگرسیون سیستم خطی ساده پواسون به‌طور جداگانه برای مجموعه داده‌های بستری شدن و شمارش مرگ‌ومیر ساخته شد. برای برخی حوزه‌ها مانند اشتغال، درآمد و	غلظت $PM_{2.5}$ با بستری شدن در بیمارستان و مرگ‌ومیر بیماران مرتبط است. با افزایش غلظت $PM_{2.5}$ به میزان یک میکروگرم، بستری در بیمارستان بین ۷.۴٪ و ۹.۳٪ و میزان مرگ‌ومیر نیز به میزان ۲.۹٪ تا ۱۰.۳٪ افزایش می‌یابد.	2022	تعیین کمیت تأثیر آلودگی هوا بر بستری شدن و نرخ مرگ‌ومیر ناشی از کووید-۱۹ در	Lee, Robertson, McRae & Baker
	$PM_{2.5}$ concentration is associated with			

<p>... که با یک شاخص اندازه‌گیری می‌شوند از آن به‌عنوان معیار ویژه استفاده شد و برای سایر حوزه‌ها از تحلیل مؤلفه‌های اصلی استفاده می‌شود.</p> <p>Initially, simple linear Poisson regression models were created separately for the hospitalization dataset and death counts. For some areas such as employment, income, etc., which are measured by a single indicator, this was used as a specific criterion, while for other areas, principal component analysis was employed.</p>	<p>hospitalizations and mortality of patients. An increase of 1 <math>\mu\text{g}</math> in PM2.5 concentration leads to a 7.4% to 9.3% rise in hospitalizations and a 2.9% to 10.3% increase in mortality.</p>	اسکاتلند	Quantifying the impact of air pollution on Covid-19 hospitalisation and death rates in Scotland
<p>این پژوهش به تحلیل، جمع‌بندی و انعکاس نتایج یافته‌های مرتبط پرداخته است.</p> <p>This study analyzes, summarizes, and reflects the findings related to the results.</p>	<p>قرنطینه به دلیل کووید-۱۹ منجر به کاهش سطوح آلاینده از جمله CO2 و NO2 همراه با سطوح PM2.5 شده است.</p> <p>COVID-19 quarantine resulted in a reduction of pollutants, including CO2 and NO2, along with PM2.5 levels</p>	2022	<p>تأثیر کووید-۱۹ بر بیماری‌های مرتبط با آلودگی هوا در هند</p> <p>Effect of COVID-19 on air pollution related illnesses in India</p> <p>رابطه نامتقارن بین آلودگی هوا و کووید-۱۹: شواهدی از مدل تأخیر توزیع شده اتورگرسیو پانل غیرخطی</p> <p>Uday et al.</p>
<p>مدل تأخیر توزیع شده اتورگرسیو غیرخطی</p> <p>Nonlinear autoregressive distributed lag model</p>	<p>آلودگی هوا علت اصلی شیوع بیماری کووید-۱۹ است. رابطه‌ای نامتقارن بین موارد PM2.5 و کووید-۱۹ وجود دارد، به‌طور دقیق‌تر، تغییر یک درصدی در شوک‌های مثبت PM2.5 موارد کووید-۱۹ را ۰.۴۳۹ درصد افزایش می‌دهد.</p> <p>Air pollution is a major cause of the spread of COVID-19. An asymmetric relationship exists between PM2.5 levels and COVID-19 cases. Specifically, a 1% change in positive PM2.5 shocks leads to a 0.439% increase in COVID-19 cases.</p>	2022	<p>رابطه نامتقارن بین آلودگی هوا و کووید-۱۹: شواهدی از مدل تأخیر توزیع شده اتورگرسیو پانل غیرخطی</p> <p>The asymmetric nexus between air pollution and COVID-19: evidence from a non-linear panel autoregressive distributed lag model</p> <p>Wen et al.</p>
<p>یادگیری ماشین برای مدل‌سازی آلودگی هوای شهر با متغیرهای مرتبط با آب‌وهوا مورد استفاده قرار گرفت. این مطالعه از XGBoost، یک الگوریتم تقویت گرادیان فوق‌العاده براساس درختان تصمیم استفاده کرد.</p> <p>Machine learning was used to model air pollution in cities with weather-related variables.</p>	<p>بیشترین کاهش NO2 در طول قرنطینه اولیه در چین، اروپا و هند مشاهده شد. آلودگی در سراسر سال ۲۰۲۰ به‌طور کامل به سطح قبل از همه‌گیری بازنگشت. برای ذرات معلق، بزرگ‌ترین کاهش مطلق در چین و هند رخ داد. در بسیاری از کشورها، افزایش سطح O3 در طول قرنطینه‌های اولیه مشاهده شد.</p> <p>The greatest decrease in NO2 during the</p>	2022	<p>تأثیر همه‌گیری کووید-۱۹ بر آلودگی هوا: ارزیابی جهانی با استفاده از تکنیک‌های یادگیری ماشین</p> <p>The impact of the COVID-19 pandemic on air</p> <p>Wijnands, Nice, Seneviratne, Thompson &amp; Stevenson</p>



<p>The study employed XGBoost, a gradient boosting algorithm based on decision trees.</p> <p>مدل یادگیری ماشین با استفاده از تکنیک شبکه عصبی مصنوعی همراه با یک مدل جنبشی برای پیش‌بینی O<sub>3</sub>, NO<sub>x</sub>, نیترات و سولفات برای بررسی منابع انتشار بالقوه و مکانیسم واکنش شیمیایی مورد استفاده قرار گرفت.</p>	<p>initial quarantine occurred in China, Europe, and India. Pollution throughout 2020 did not fully return to pre-pandemic levels. For suspended particles, the largest absolute reduction occurred in China and India. In many countries, O<sub>3</sub> levels increased during the initial quarantines.</p> <p>کاهش قابل توجه غلظت NO<sub>2</sub> به میزان ۲۰٪ و ۲۵.۹٪ در طول هشدار سطح ۳ کووید-۱۹ از ژوئن تا ژوئیه ۲۰۲۱ در مقایسه با مدت مشابه در سال‌های ۲۰۱۹ و ۲۰۲۰ با سیاست دورکاری، آموزش از راه دور و کاهش جریان ترافیک.</p> <p>از ژوئن تا جولای ۲۰۲۱، میانگین غلظت O<sub>3</sub> و NO<sub>2</sub> به ترتیب ۱۳.۲٪ و ۹۸.۲٪ در مقایسه با مدت مشابه در سال ۲۰۲۰ افزایش یافته است.</p>	<p>pollution: A global assessment using machine learning techniques</p> <p>تجزیه و تحلیل تأثیر تغییر سطح ۳ هشدار کووید-۱۹ بر شاخص‌های آلودگی هوا با استفاده از شبکه عصبی مصنوعی</p> <p>2022</p> <p>Lin, Chen, Chieh &amp; Yang</p>
<p>Machine learning models, using artificial neural networks combined with a kinetic model, were used to predict O<sub>3</sub>, NO<sub>x</sub>, nitrate, and sulfate to investigate potential emission sources and chemical reaction mechanisms.</p>	<p>A significant decrease in NO<sub>2</sub> concentration of 20% and 25.9% was observed during COVID-19 level 3 warning from June to July 2021, compared to the same period in 2019 and 2020, with policies such as remote working, online education, and reduced traffic. From June to July 2021, the average concentration of O<sub>3</sub> and NO<sub>2</sub> increased by 13.2% and 98.2%, respectively, compared to the same period in 2020.</p> <p>بیشترین کاهش PM<sub>2.5</sub> در ووهان (-۴۳.۶٪) و پکن (-۱۴٪) در ایستگاه‌های ترافیکی در طول دوره قرنطینه بود؛ درحالی‌که در ارومچی این کاهش مربوط به صنعت بود. NO<sub>2</sub> به‌طور قابل توجهی در هر شهر کاهش یافت، درحالی‌که O<sub>3</sub> افزایش یافت.</p> <p>The largest decrease in PM<sub>2.5</sub> occurred in Wuhan (-43.6%) and Beijing (-14%) at traffic stations during the quarantine period, while in Urumqi, this decrease was linked to the industry. NO<sub>2</sub> decreased significantly in every city, while O<sub>3</sub> increased.</p>	<p>Chang impact analysis of level 3 COVID-19 alert on air pollution indicators using artificial neural network</p> <p>تغییرات نرمال شده کیفیت هوا توسط هواشناسی در طول قرنطینه کووید-۱۹ در سه کلان‌شهر چین</p> <p>2022</p> <p>Lv et al.</p> <p>Meteorology-normalized variations of air quality during the COVID-19 lockdown in three Chinese megacities</p>

## ۲- مواد و روش‌ها

در پژوهش حاضر که از نظر هدف، کاربردی، از نظر ماهیت، توصیفی - تحلیلی و از نظر روش، کمی است، از تکنیک داده‌کاوی و مدل شاخص‌های آماری توصیفی برای ارزیابی رابطه کووید-۱۹ با طرح‌های ترافیک

در ایران استفاده خواهد شد. داده‌کاوی فرآیند به خدمت گرفتن یک روش‌شناسی رایانه‌ای است که با استفاده از تکنیک‌ها و الگوریتم‌های مختلف در جستجوی دانش نهفته در داده‌هاست (Kantardzic, 2003). این فرآیند مشارکتی میان انسان و رایانه (Berson & Thearling, 1999) در نهایت به دنبال کشف الگوها و قواعد معنادار در میان داده‌ها است (Berry & Linoff, 2000). داده‌کاوی، پایگاه‌های داده‌ای بزرگ را به‌عنوان منبع دانش در نظر می‌گیرد (Laros, 2005).

در ابتدا به شناسایی و بررسی داده‌ها پرداخته می‌شود. داده‌های شناسایی شده مربوط به بازه زمانی بهمن ۱۳۹۶ لغایت اسفندماه ۱۴۰۰ می‌باشند. سپس پاک‌سازی داده و یکپارچه‌سازی داده‌ها انجام می‌شود. براساس مدل شاخص‌های آماری توصیفی، تغییرات نسبی سطح کیفیت هوا برای دوره‌های مختلف به دلیل اقدامات قرنطینه کووید-۱۹ برای پارامترهای آلاینده‌های هوا شامل  $CO$ ،  $O_3$ ،  $NO_2$ ،  $NO$ ،  $NO_x$ ،  $SO_2$ ،  $PM_{2.5}$  و  $PM_{10}$  در ایستگاه‌های ترافیک شهری انجام می‌شود تا میزان آلودگی هوا در سال‌های مذکور تعیین گردد. در ادامه، از روش انتخاب ویژگی مبتنی بر الگوریتم بهینه‌سازی ازدحام ذرات استفاده می‌شود تا ویژگی‌های مهم‌تر انتخاب شوند. در روش پیشنهادی، الگوریتم‌های یادگیری ماشین از قبیل درخت تصمیم، جنگل تصادفی، ماشین بردار پشتیبان، شبکه بیزین و شبکه عصبی مورد استفاده قرار می‌گیرند. در گام بعد، ارزیابی مدل براساس معیارهای موردبررسی از جمله دقت، صحت و فراخوانی و F-measure صورت پذیرفته و سپس مقایسه ۵ الگوریتم یادگیری ماشین انجام می‌شود.

داده‌های مرتبط با آلاینده‌های هوا از سازمان حفاظت محیط‌زیست جمع‌آوری شده‌اند. میزان پارامترهای آلودگی هوا شامل  $CO$ ،  $O_3$ ،  $NO_2$ ،  $NO$ ،  $NO_x$ ،  $SO_2$ ،  $PM_{2.5}$  و  $PM_{10}$  می‌باشد تا AQI تعیین گردد. برای محاسبه AQI، داده‌ها به‌صورت روزانه از تاریخ ۱۳۹۶/۱۱/۰۱ الی ۱۴۰۰/۱۲/۲۹ جمع‌آوری شده‌اند. شاخص AQI از رابطه ۱ به دست می‌آید.

$$AQI = \text{Max}(CO, O_3, NO_2, SO_2, PM_{2.5}, PM_{10}) \quad \text{رابطه ۱}$$

براساس AQI به دست آمده می‌توان سطح اهمیت بهداشتی را مطابق جدول ۲ تنظیم نمود

جدول ۲- شاخص کیفیت هوا براساس استاندارد سازمان حفاظت محیط‌زیست ایران

Table 2- Air quality index based on the standard of Iran Environmental Protection

Organization		
شاخص کیفیت هوا	شماره دسته	سطح اهمیت بهداشتی
Air quality index	Category number	Health significance level
0 - 50	1	پاک Clean
51 - 100	2	سالم Healthy
101 - 150	3	ناسالم برای گروه‌های حساس Unhealthy for sensitive groups
151 - 200	4	ناسالم Unhealthy
201 - 300	5	بسیار ناسالم Very unhealthy
301 - 500	6	خطرناک Hazardous

- پاک‌سازی و پیش‌پردازش داده‌ها مبتنی بر روش همبستگی

پاک‌سازی داده‌ها به منظور تشخیص، حذف و اصلاح داده‌های نویزدار، ناقص و اشتباه در بین مجموعه داده‌ها می‌باشد. هدف از پاک‌سازی داده‌ها، جلوگیری از نتیجه‌گیری غلط است.

#### ۲-۲- انتخاب ویژگی با الگوریتم بهینه‌سازی ازدحام ذرات

الگوریتم بهینه‌سازی ازدحام ذرات یک روش بهینه‌سازی براساس قوانین احتمال است. این الگوریتم با الهام از رفتار اجتماعی جانداران، از جمله پرندگان و ماهیان تأثیر می‌گیرد. رفتار نمونه‌های تشکیل دهنده یک گروه، براساس قوانین مانند هماهنگی برای سرعت با نزدیک‌ترین همسایه و همچنین شتاب براساس فاصله است. در هر مرحله از حرکت گروه ذرات، مکان هر ذره با دو مقدار بهترین تعیین می‌گردد. PSO، تابع هدف را با جستجوی مبتنی بر جمعیت بهینه می‌نماید. مزیت مهم و اصلی PSO ساده بودن پیاده‌سازی الگوریتم بوده و تعیین پارامترهای اولیه کمی دارد. عملیات دقیق بهینه‌سازی ازدحام ذرات در ادامه تعریف می‌شود. برای به دست آوردن جمعیت اولیه از ذرات، یک آرایه از متغیرهای مسئله با نام ذره ایجاد می‌شود. در PSO هر ذره، یک پرنده در فضای جستجو است که می‌تواند آزادانه در فضای جستجو حرکت و پرواز کند. برای هر ذره دو مقدار موقعیت و سرعت، تعریف می‌شود که بردار مکان و بردار سرعت را مدل می‌کنند. این دو بردار به صورت روابط ۲ و ۳ تعریف می‌شوند:

$$particle\_position = [P_{i,1}, \dots, P_{i,n}]$$

رابطه ۲

$$\text{particle\_velocity} = [v_{i,1}, \dots, v_{i,n}] \quad \text{رابطه ۳}$$

که در آن  $\text{particle\_position}$  بردار مکان ذره  $i$ ام،  $\text{particle\_velocity}$  بردار سرعت ذره  $i$ ام،  $n$  تعداد مربع ویژگی‌ها است. جمعیت اولیه براساس موقعیت و سرعت تمامی ذرات به صورت تصادفی در بازه  $[0,1]$  تولید می‌شود.

بعد از تولید نمودن جمعیت اولیه ذرات و سرعت اولیه برای هر ذره، عملکرد هر ذره مبتنی بر موقعیت آن با مقدار تابع برازندگی محاسبه می‌شود. سرعت ذره با توجه به بهترین پاسخ هر دسته ذرات با توجه به بهترین مکانی که تاکنون داشته است<sup>۱</sup>، تغییر می‌کند. با تغییر زمان برحسب سرعت، موقعیت ذرات تغییر می‌کند. بردار سرعت هر ذره، با دو مقدار بهینه، به روزرسانی می‌شود. ( $p_{best}$ ) بهترین موقعیت ذره که تاکنون به آن رسیده است و ( $g_{best}$ )<sup>۳</sup> بهترین موقعیت ذره که تاکنون به دست آمده است. در هر تکرار الگوریتم، سرعت ذرات به صورت رابطه ۴ بهینه می‌شود:

$$\vec{v}_i = w\vec{v}_i + c_1R_1(\vec{p}_{i,best} - \vec{p}_i) + c_2R_2(\vec{g}_{i,best} - \vec{g}_i) \quad \text{رابطه ۴}$$

که در آن  $\vec{p}_i$  و  $\vec{v}_i$ ، موقعیت و سرعت ذره  $i$ ام،  $\vec{p}_{i,best}$  و  $\vec{g}_{i,best}$ ، بهترین مقدار تابع هدف از موقعیت ذره  $i$ ام و موقعیت کل جمعیت است.  $R_1$  و  $R_2$  دو متغیر تصادفی در بازه  $[0,1]$  هستند. افزودن متغیرهای تصادفی به PSO، توانایی جستجوی تصادفی آن را با ارزش‌تر و بهینه‌تر می‌کند. ضرایب  $c_1$  و  $c_2$  فاکتور یادگیری هستند و به ترتیب میزان تابعیت ذره از بهترین تجربه فردی ( $p_{best}$ ) و میزان تابعیت ذره از بهترین تجربه در گروه ( $g_{best}$ ) را نشان می‌دهند. این پارامترها برای سازگار کردن مبادله بین عملیات بهره‌برداری<sup>۴</sup> و اکتشاف<sup>۵</sup> می‌باشند.  $W$ ، پارامتر کنترلی پرواز نمودن ذرات است.

1. Best Particle Position

2. Personal Best

3. Global Best

4. Exploitation

5. Exploration

## ۳-۲- روش درخت تصمیم‌گیری

درخت تصمیم یک نظریه یادگیری ماشین مبتنی بر آمار است. ایده کلی الگوریتم C4.5 شامل ابتدا پیش‌بینی غلظت آلاینده‌ها بر اساس مجموعه‌ای از مقادیر مشخصه (شامل داده‌های هواشناسی و ترافیک) و آموزش یک مدل درخت تصمیم قابل‌اعتماد است. سپس می‌توان از مدل درخت تصمیم برای پیش‌بینی غلظت آلاینده‌ها در یک سری شرایط هواشناسی استفاده نمود. در الگوریتم، غلظت یک آلاینده خاص در یک نقطه زمانی خاص را می‌توان با نمونه‌گیری مجدد داده‌های هواشناسی پیش‌بینی کرد. درخت C4.5 ارتقاء یافته درخت ID3 است (Bellaachia & Guven, 2006) که توسط کوئینلن (۱۹۹۳) معرفی شده است.

خصوصیات این درخت به صورت زیر است:

۱. در یک مجموعه داده، ویژگی‌ها (متغیرهای پیشگو) برای درخت C4.5 می‌توانند به صورت متغیرهای رسته‌ای و کمی باشند.

۲. از هر گره درونی این درخت دو یا بیش از دو شاخه خارج می‌شود.

۳. برای هرس کردن درخت C4.5 از روش هرس کردن مبتنی بر خطا استفاده می‌شود.

۴. این درخت توانایی انجام رده‌بندی با داده گمشده در یک مجموعه داده را دارد.

۵. درخت C4.5 برای انتخاب ریشه و گره‌های درونی از معیار نسبت بهره استفاده می‌کند.

فرض کنید  $S$  یک مجموعه داده با  $n$  مشاهده (نمونه) است. معیار نسبت بهره<sup>۱</sup> ویژگی  $X_i$  نسبت به این مجموعه داده به صورت رابطه ۵ است:

$$GR(X_i, S) = \frac{IG(X_i, S)}{E(X_i, S)} \quad \text{رابطه ۵}$$

که در آن  $IG$ ، معیار بهره اطلاعات<sup>۲</sup> و  $E$ ، آنتروپی<sup>۳</sup> می‌باشد.

<sup>۱</sup>. Gain Ratio (GR)

<sup>۲</sup>. Information Gain (IG)

<sup>۳</sup>. Entropy (E)

## ۴-۲- روش انجام پژوهش

این بخش شامل ۳ زیربخش می‌باشد که عبارتند از معرفی مجموعه داده‌ها برای ارزیابی روش پیشنهادی، معرفی الگوریتم‌ها برای مقایسه، معرفی معیارها برای ارزیابی عملکرد مدل پیشنهادی، انجام آزمایش‌ها بر روی مجموعه داده‌های تهیه شده، بحث در مورد روش پیشنهادی.

## ۴-۲-۱- توصیف مجموعه داده‌ها

در این پژوهش، داده‌های مرتبط به آلاینده‌های هوا و داده‌های مرتبط با حمل‌ونقل و ترافیک از ۱۳۹۶/۱۱/۰۱ تا ۱۴۰۰/۱۲/۲۹ در کلان‌شهرهای ایران: تهران، اراک، شیراز، اصفهان، مشهد، کرج، اهواز و تبریز جمع‌آوری شد. داده‌های نظارتی مبتنی بر غلظت آلاینده‌های هوا از سازمان حفاظت محیط‌زیست کشور جمع‌آوری شده است و داده‌های مرتبط با محدودیت‌های ترافیکی در دوره همه‌گیری کووید-۱۹ از مرکز ستاد ملی کرونا دریافت شد. در مجموع ۳۲ ایستگاه تحت نظارت ثبت پارامترهای آلودگی هوا انتخاب شدند که عبارتند از: تهران: ۱۰، اراک: ۳، کرج: ۴، اهواز: ۱، تبریز: ۶، شیراز: ۲، مشهد: ۵ و اصفهان: ۱ ایستگاه.

مجموعه داده جمع‌آوری شده شامل ۱۲ ویژگی می‌باشد که عبارتند از:  $CO$ ،  $NO$ ،  $O_3$ ،  $NO_2$ ،  $NO_x$ ،  $SO_2$ ،  $PM_{2.5}$ ،  $PM_{10}$ ،  $AQI$ ، اعمال محدودیت، نام شهر و کلاس شاخص هوا.

داده‌های ویژگی  $CO$ ،  $NO$ ،  $O_3$ ،  $NO_2$ ،  $NO_x$ ،  $SO_2$ ،  $PM_{2.5}$  و  $PM_{10}$  براساس مستندات سازمان حفاظت محیط‌زیست کشور از ایستگاه‌های هر یک از شهرها جمع‌آوری شد.

داده‌های ویژگی اعمال محدودیت با توجه به تکامل محدودیت‌های کووید-۱۹ به شش دوره تقسیم می‌شود که عبارتند از تعطیلی همه مشاغل از ساعت ۱۸:۰۰ به غیر از مشاغل گروه یک، محدودیت تردد شبانه، تمدید خودکار اجاره‌نامه مستأجران، لغو طرح ترافیک تهران، محدودیت تردد بین استانی و حضور یک‌سوم کارکنان.

## ۴-۲-۲- الگوریتم‌های مورد ارزیابی

جنگل تصادفی<sup>۱</sup>: الگوریتم جنگل تصادفی یک طبقه‌بندی ترکیبی است که از چندین درخت تصمیم‌گیری تشکیل شده است. این الگوریتم با انتخاب ویژگی از داده یادگیری،  $overfitting$  را انجام می‌دهد. همچنین با انتخاب تصادفی ویژگی‌ها از نودهای تأثیرگذار باعث می‌شود که حتی اگر مجموعه داده بزرگ باشد، عملیات

<sup>۱</sup>. Random Forest (RF)

یادگیری با سرعت زیادی انجام شود. در این الگوریتم علاوه بر اینکه هر درخت با استفاده از نمونه‌های متفاوتی از داده‌ها ساخته می‌شود، روند ساخت درخت‌ها نیز تغییر می‌کند. در واقع در یک درخت استاندارد، هر گره تصمیم با استفاده از بهترین نقطه شکست انتخاب، از میان همه خصیصه‌ها شکسته می‌شود، اما در جنگل تصادفی، هر گره تصمیم بر مبنای بهترین نقطه شکست از میان زیرمجموعه‌ای از خصیصه‌هایی که به‌طور رندوم در سطح آن گره انتخاب شده‌اند، شکسته می‌شود (Paul et al., 2018).

ماشین بردار پشتیبان<sup>۱</sup>: ماشین‌های بردار پشتیبان (SVM) مجموعه‌ای از روش‌های یادگیری نظارت شده مرتبطی هستند که برای طبقه‌بندی و رگرسیون استفاده می‌شوند. با داشتن مجموعه‌ای از نمونه‌های آموزشی که هرکدام به‌عنوان عضوی از یکی از دو دسته فوق علامت‌گذاری شده‌اند، الگوریتم آموزشی SVM مدلی می‌سازد که پیش‌بینی می‌کند یک نمونه جدید به کدام دسته تعلق خواهد گرفت. ماشین بردار پشتیبان، دسته‌سازی (طبقه‌سازی) است که فضای ورودی خود را به دو ناحیه تقسیم می‌کند که توسط یک مرز خطی از هم جدا شده‌اند. سه تابع هسته‌ای که به‌صورت متداول در ماشین بردار پشتیبان استفاده می‌شود، تابع چندجمله‌ای درجه  $d$ ، تابع پایه شعاعی (RBF) و تابع سیگموئید می‌باشند که معادلات آن‌ها به ترتیب در روابط ۶، ۷ و ۸ آمده است:

$$K(x_1, x_2) = (1 + (x_1, x_2))^d \quad \text{رابطه ۶} \quad \text{تابع چندجمله‌ای درجه } d$$

$$K(x_1, x_2) = \exp\left(-\frac{\|x_1 - x_2\|^2}{c}\right) \quad \text{رابطه ۷} \quad \text{تابع پایه شعاعی (RBF)}$$

$$K(x_1, x_2) = \tanh(k_1(x_1, x_2) + k_2) \quad \text{رابطه ۸} \quad \text{تابع سیگموئید}$$

هسته  $k(x_1, x_2)$  باید تئوری مرسر را برآورده سازد (Haykin, 1998; Hsu, 2003).

شبکه بیزین: شبکه‌های بیزین با نام‌های شبکه بیز، شبکه باور بیزین، شبکه‌های احتمالاتی سببی و شبکه‌های احتمالاتی شناخته شده‌اند. برای مدل‌سازی موقعیت‌هایی که رابطه علی و معلولی در آن‌ها وجود دارد و ادراک ما از این روابط ضعیف است به کار برده می‌شوند. شبکه‌های تصمیم بیزین اثرات اقدامات مدیریتی و یا

<sup>1</sup> Support Vector Machines (SVMs)

سناریوها را نمایش می‌دهند. این مدل تلفیق با ایجاد یک چارچوب (مفهوم‌سازی) و با ساده‌سازی سیستم مورد مطالعه، کنش‌ها و واکنش‌ها را نشان می‌دهد (Ticehurst, Letcher & Rissik, 2008).

شبکه عصبی پرسپترون چند لایه<sup>۱</sup>: شبکه پرسپترون چند لایه یکی از مهم‌ترین ساختارهای ANN می‌باشد. به‌طور معمول این شبکه‌ها شامل مجموعه‌ای از واحدهای حسی (نورون‌های پایه) می‌باشند که متشکل از یک لایه ورودی، یک یا چند لایه پنهان و یک لایه خروجی می‌باشند. هر لایه شامل تعدادی نورون یا گره است. تمام اتصالات بین لایه ورودی و لایه پنهان، ماتریس وزن ورودی و تمام اتصالات بین لایه پنهان و لایه خروجی، ماتریس وزن خروجی را تشکیل می‌دهد (Patan, 2019).

### ۳-۴-۲- معیارهای ارزیابی

برای اعتبارسنجی عملکرد روش پیشنهادی، از معیارهایی استفاده می‌گردد که برای محاسبه دقت در مسائل دسته‌بندی بکار می‌روند. در ابتدا متغیرهای مورد استفاده در معیارها به‌صورت زیر تعریف می‌شود.

- مثبت درست<sup>۲</sup>: داده‌های کلاس مثبت که به‌درستی به‌عنوان کلاس مثبت شناسایی شده‌اند.
- منفی درست<sup>۳</sup>: داده‌های کلاس منفی که به‌درستی به‌عنوان کلاس منفی شناسایی شده‌اند.
- منفی غلط<sup>۴</sup>: داده‌های کلاس مثبت که به‌غلط به‌عنوان کلاس منفی شناسایی شده‌اند.
- مثبت غلط<sup>۵</sup>: داده‌های کلاس منفی که به‌غلط به‌عنوان کلاس مثبت شناسایی شده‌اند.
- صحت<sup>۶</sup>: نسبت میزان نمونه‌های مثبت پیش‌بینی شده به‌درستی تشخیص داده شده.

$$Precision = \frac{TP}{TP + FP} \quad \text{رابطه ۹}$$

- F-Measure: معیاری است که "خوب بودن یک دسته‌بندی کننده" را نشان می‌دهد و میانگین هارمونیک بین صحت و فراخوانی است. مقدار  $\beta$  ثبت بوده و نشان‌دهنده اهمیت فراخوانی نسبت به صحت می‌باشد.

1. Multi Layer Perceptron Neural Network (MLP)

2. True Positives (TP)

3. True Negatives (TN)

4. False Negatives (FN)

5. False Positives (FP)

6. Precision



$$F - Measure = \frac{(1 + \beta^2) * Precision * Recall}{\beta^2 * Recall * Precision} \quad \text{رابطه ۱۰}$$

• خطای مطلق میانگین<sup>۱</sup>: ارائه انعکاس میزان خطای پیش‌بینی شده. هرچه مقدار آن کمتر باشد، کارایی پیش‌بینی بیشتر می‌شود:

$$MAE = \frac{1}{m} \sum_{i=1}^m |y_i - \hat{y}_i| \quad \text{رابطه ۱۱}$$

که  $y_i$  و  $\hat{y}_i$ ، به ترتیب برچسب کلاس واقعی و برچسب کلاس پیش‌بینی شده برای نمونه  $i$  می‌باشند.  $M$  تعداد نمونه‌های پیش‌بینی شده می‌باشد.

### ۳- نتایج و بحث

در این بخش، نتایج آزمایش بخش‌های مختلف الگوریتم پیشنهادی و نتیجه نهایی ارائه می‌شود. آزمایش‌ها بر روی مجموعه داده تهیه شده برای آلودگی هوا به تفکیک کلان‌شهرهای ایران: تهران، اراک، شیراز، اصفهان، مشهد، کرج، اهواز و تبریز می‌باشد. برای ارزیابی نتایج از نرم‌افزار WEKA و MATLAB استفاده شد.

#### ۳-۱- پاک‌سازی و پالایش داده‌ها

به‌منظور پاک‌سازی داده‌ها، مراحل زیر صورت می‌گیرد.

۱. حذف داده‌های تکراری: از آنجاکه مجموعه داده‌ها از ایستگاه‌های مختلف شهرهای مختلف جمع‌آوری شده و ادغام شده‌اند، امکان ایجاد داده‌های تکراری یا غیرمرتبط وجود دارد. داده‌ها از مراکز به تفکیک تاریخ جمع‌آوری شده‌اند. حذف داده‌های تکراری در نرم‌افزار SPSS با استفاده از Identify Duplicate Cases انجام می‌شود تا داده‌ها و رکوردهای تکراری حذف شوند.
۲. خطاهای ساختاری: هنگام ادغام داده‌های ایستگاه‌های مختلف ممکن است که خطاها و یا تغییراتی در داده‌ها ایجاد گردد. به‌طور نمونه بعضی از نمونه‌ها را null نشان دهد که با بررسی ساختاری آن‌ها به فرمت اصلی و مقادیر واقعی اصلاح می‌شوند.

<sup>1</sup>. Mean Absolute Error (MAE)

۳. حذف داده‌های پرت: به این منظور از آزمون Z در SPSS برای محاسبه نمرات استاندارد استفاده می‌شود. نمرات استاندارد همه متغیرها محاسبه شده و در صورت دور افتاده بودن داده از سایر مجموعه داده‌ها، آن نمونه داده را حذف می‌کنیم.

۴. برای مدیریت داده‌ها و حذف داده‌های غیرمرتبط، از روش جایگزینی با میانگین آن متغیر در هر ایستگاه در آن تاریخ استفاده می‌شود.

### ۲-۳- تحلیل آماری شاخص کیفیت هوا

در این بخش وضعیت سطوح آلاینده‌های هوا در زمان شیوع کووید-۱۹ متأثر از محدودیت‌های تردد ترافیکی موردبررسی قرار می‌گیرد. خلاصه‌ای از آمار توصیفی برای مجموعه داده‌ها در جدول ۳ به تفکیک دوره قبل از کووید-۱۹ و دوره کووید-۱۹ برای تمامی کلان‌شهرهای مورد مطالعه نشان داده می‌شود. برای مدل‌سازی و تجزیه و تحلیل تغییرات سطوح آلاینده هوا، داده‌ها از تاریخ ۱۳۹۶/۱۱/۰۱ تا ۱۴۰۰/۱۲/۲۹ جمع‌آوری شدند. بازه زمانی داده‌ها در زمان کووید-۱۹، از تاریخ ۱۳۹۸/۱۱/۰۱ تا ۱۴۰۰/۱۲/۲۹ می‌باشد. همان‌گونه که مشخص است به غیر از آلاینده  $O_3$ ، میانگین غلظت سایر آلاینده‌ها در دوره کووید-۱۹ نسبت به دوره قبل از آن افزایش یافته است.

شکل ۱ غلظت آلاینده‌های هوا را به تفکیک ۸ کلان‌شهر نشان می‌دهد. در راهنمای شکل ۱ برای تفکیک آلاینده‌ها برای قبل از دوران کووید-۱۹ و دوران کووید-۱۹، به ترتیب از اعداد ۱ و ۲ در کنار نام هر آلاینده استفاده شده است.

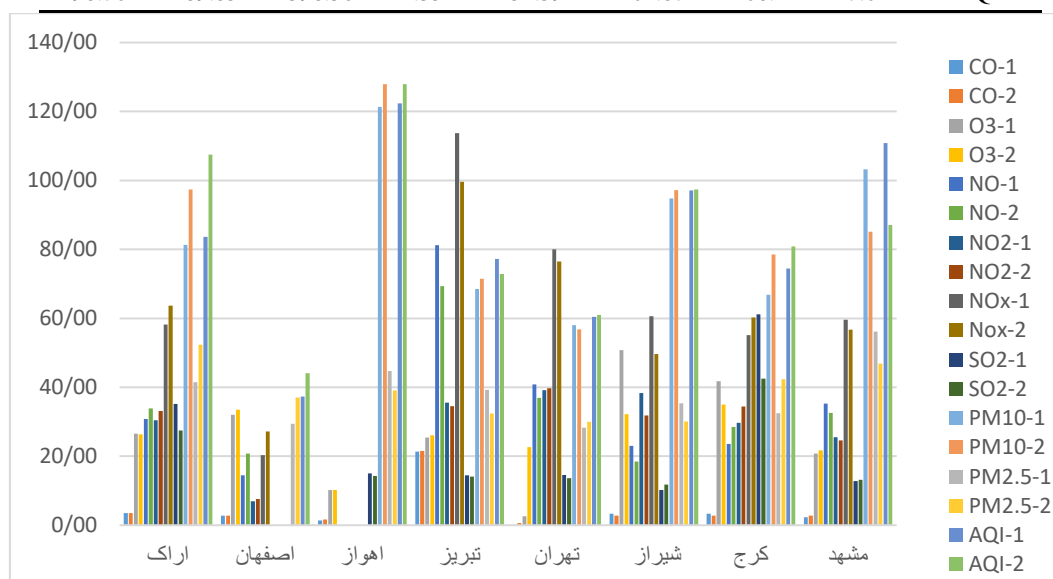
### ۳-۳- انتخاب ویژگی با PSO

با استفاده از انتخاب ویژگی، تعداد ویژگی‌های مهم‌تر در تحلیل داده‌کاوی انتخاب می‌شوند. به این منظور از بین ۱۲ ویژگی موجود، ۱۰ ویژگی: کلاس شاخص هوا،  $CO$ ،  $NO$ ،  $O_3$ ،  $NO_2$ ،  $NO_x$ ،  $SO_2$ ،  $PM_{2.5}$ ،  $PM_{10}$  و AQI برای انتخاب ویژگی با PSOsearch انتخاب می‌شوند. با اعمال الگوریتم PSOsearch، تعداد ویژگی‌ها از ۱۰ به ۷ کاهش یافت. ویژگی‌های انتخاب شده عبارتند از: کلاس شاخص هوا،  $CO$ ،  $O_3$ ،  $NO_2$ ،  $PM_{10}$ ،  $PM_{2.5}$  و AQI.

## جدول ۳- خلاصه‌ای از آمار توصیفی مجموعه داده‌ها

Table 3- A summary of the descriptive statistics of the data set

انحراف معیار Sta. Dev.	بازه زمانی قبل از کووید-۱۹ Pre-COVID-19 period			بازه زمانی کووید-۱۹ COVID-19 period			آلاینده Pollutant	
	میانگین Ave.	حداکثر Max.	حداقل Min.	انحراف معیار Sta. Dev.	میانگین Ave.	حداکثر Max.		حداقل Min.
1.96	2.91	14.2	0.09	2.23	3.20	13.29	0.43	CO
21.46	24.12	98.72	1.56	17.4	22.96	86.33	2.09	O <sub>3</sub>
45.31	32.43	342.92	0.47	41.74	45.47	360.23	3.59	NO
31.06	29.54	166.44	0.13	32.97	43.65	205.85	1.2	NO <sub>2</sub>
57.82	61.24	398.36	4.23	56.41	70.66	408.11	3.09	NO <sub>x</sub>
25.49	19.51	184.60	0.65	20.28	21.30	229.61	0.24	SO <sub>2</sub>
92.34	43.49	213.28	5.03	122.46	69.71	406.77	3.84	PM <sub>10</sub>
44.18	35.80	284.58	2	92.38	38.51	330.76	3.34	PM <sub>2.5</sub>
98.76	89.85	398.36	1.35	152.59	101.87	408.11	7.01	AQI



شکل ۱- مقایسه غلظت آلاینده‌های هوا

Fig. 1. Comparison of the concentration of air pollutants

## ۳-۴- روش درخت تصمیم‌گیری

روش‌های یادگیری ماشین تحت چارچوب اعتبارسنجی متقابل داده‌ها ارزیابی می‌شوند تا بهترین مدل برای پیش‌بینی کیفیت هوا انتخاب شود. ابتدا داده‌ها با مدل درخت تصمیم C4.5 ارزیابی می‌شوند. داده‌ها به شش خوشه تقسیم می‌گردند که عبارتند از: پاک، قابل قبول، ناسالم برای گروه‌های حساس، ناسالم، بسیار ناسالم و

خطرناک. داده‌ها در درخت تصمیم C4.5، براساس روش اعتبارسنجی و تعداد k-fold های مختلف مورد بررسی قرار گرفتند. در روش اعتبارسنجی به ازای اکثریت kها از جمله بیشترین مقدار دسته‌بندی داده‌ها به‌طور مشابه به دست آمد.

پس از ایجاد مدل پیشنهادی و درخت تصمیم، به ارزیابی نتایج حاصل از آن پرداخته می‌شود. به این منظور از معیارهای ارزیابی معرفی شده استفاده می‌شود. نتایج معیارها در جدول ۴ و جدول ۵ نشان داده می‌شود.

#### جدول ۴- پیش‌بینی مقادیر معیارهای مدل درخت تصمیم C4.5

Table 4- Predicting values of decision tree model criteria C4.5

مقدار معیار Metric Value	عنوان معیار Metric title	ردیف
(99.9206%) 6296	تعداد نمونه‌های درست تشخیص داده شده Number of correctly identified samples	1
(0.0794%) 5	تعداد نمونه‌های غلط تشخیص داده شده Number of incorrectly identified samples	2
0.0003	میانگین قدرمطلق خطا Mean absolute error	3
0.0163	خطای جذر میانگین مربع Root mean square error	4
0.1772%	خطای جذر نسبی Root relative error	5
5.9552%	خطای جذر مربع نسبی Root square relative error	6
6301	تعداد کل نمونه‌ها Total number of samples	7

جدول ۵ - معیارهای مورد ارزیابی درخت تصمیم C4.5 به تفکیک کلاس شاخص هوا

Table 5- The C4.5 decision tree evaluation criteria by air index class

فیشر Fisher	بازخوانی Recall	صحت Accuracy	پیش‌بینی منفی Negative prediction	پیش‌بینی مثبت Positive prediction	کلاس Class
0.999	0.998	1.000	0.000	0.998	1
1.000	1.000	1.000	0.001	1.000	2
0.999	0.999	0.999	0.000	0.999	3
0.994	0.994	0.994	0.000	0.994	4
0.986	0.986	0.986	0.000	0.986	5
0.985	1.000	0.971	0.000	1.000	6

نتایج جدول ۳ حاکی از آن است که ۶۲۹۶ نمونه از ۶۳۰۱ نمونه به درستی تشخیص داده شده‌اند و این مدل پیش‌بینی دقت بسیار خوبی را ارائه می‌دهد. در جدول ۵، نتایج به تفکیک کلاس‌ها می‌باشد و حاکی از آن است که مدل پیشنهادی از دقت بالایی دسته‌بندی برخوردار است.

### ۳-۵- مقایسه با سایر روش‌ها

نتایج حاصل از دقت، صحت و F-Measure برای روش‌های جنگل تصادفی، شبکه بیزین و شبکه عصبی پرسپترون در جدول ۶ نشان داده شده است و نتایج آن با روش درخت تصمیم مقایسه شده است تا بهترین پیکربندی مدل برای پیش‌بینی داده‌های آلاینده‌های هوا به دست آید. نتایج نشان می‌دهد که روش جنگل تصادفی و درخت تصمیم بهتر از سایر روش‌ها عمل می‌کند. همه آلاینده‌های هوا در روش درخت تصمیم و جنگل تصادفی، مقادیر نزدیک به ۱ و ۱ (مقدار ایده‌آل) را نشان می‌دهند.

### جدول ۶- مقایسه نتایج مورد ارزیابی

Table 6- Comparison of evaluated results

فیشر Fisher	بازخوانی Recall	صحت Accuracy	پیش‌بینی منفی Negative prediction	پیش‌بینی مثبت Positive prediction	کلاس Class
0.999	0.999	0.999	0.000	0.999	درخت تصمیم Decision tree
0.999	0.999	0.999	0.000	0.999	جنگل تصادفی Random forest
0.845	0.845	0.845	0.406	0.845	ماشین بردار پشتیبان Support vector machine
0.948	0.947	0.949	0.037	0.947	شبکه بیزین Bayesian network
0.833	0.851	0.833	0.24	0.851	شبکه عصبی پرسپترون Perceptron Neural Network

مجموع قوانین استخراج شده از درخت تصمیم، مهم‌ترین اطلاعاتی است که از آن‌ها به دست می‌آید که به صورت ترکیب تعدادی استلزام منطقی (قانون اگر-آنگاه) است. از این رو برخی قوانین درخت تصمیم و جنگل تصادفی ساخته می‌شود. تعدادی از این قوانین ساخته شده به شرح زیر است.

۱. در شهرهای تهران، مشهد، کرج، اهواز، تبریز و شیراز اگر  $NO_2 < 101.35$  و  $50.845 \leq PM_{10} < 100.94$  و  $PM_{2.5} < 101.455$  و  $AQI \geq 101.75$  باشد، آنگاه هوا "بسیار ناسالم" است.
۲. در شهرهای اراک و اصفهان، اگر  $PM_{2.5} \geq 150.92$  و  $NO_2 < 101.35$  و  $50.845 \leq PM_{10} < 100.94$  و  $O_3 < 24.765$  باشد، آنگاه هوا "بسیار ناسالم" است.
۳. در شهرهای اراک و اصفهان، اگر  $PM_{2.5} \geq 150.92$  و  $NO_2 < 101.35$  و  $50.845 \leq PM_{10} < 100.94$  و  $O_3 \geq 24.765$  باشد، آنگاه هوا "خطرناک" است.
۴. در شهرهای اراک و اصفهان، اگر  $NO_2 \geq 10.73$  و  $CO < 2.87$  و  $55.755 \leq PM_{2.5} < 103.945$  و  $100.94 \leq AQI < 151.165$  باشد، آنگاه هوا "بسیار ناسالم" است.
۵. در تمامی شهرها بجز مشهد، اگر  $PM_{10} \leq 101.07$  و  $NO_2 \leq 24.78$  و  $AQI > 100.98$  باشد، آنگاه هوا "ناسالم برای گروه‌های حساس" است.
۶. در تمامی شهرها بجز اراک، اگر  $PM_{10} \leq 101.07$  و  $NO_2 \leq 24.44$  و  $AQI > 100.98$  باشد، آنگاه هوا "ناسالم برای گروه‌های حساس" است.
۷. اگر تمامی شهرها اگر  $26.17 < NO_2 \leq 88.76$  و  $AQI > 100.54$  باشد و اعمال محدودیت‌ها "تعطیلی همه مشاغل از ساعت ۱۸:۰۰ به غیر از مشاغل گروه یک، محدودیت تردد شبانه، تمدید خودکار اجاره‌نامه مستأجران" باشد، آنگاه هوا "ناسالم برای گروه‌های حساس" است.
۸. اگر  $NO_2 < 26.17$  و  $69.83 < PM_{10} \leq 100.54$  باشد و اعمال محدودیت‌ها "تعطیلی همه مشاغل از ساعت ۱۸:۰۰ به غیر از مشاغل گروه یک، محدودیت تردد شبانه، تمدید خودکار اجاره‌نامه مستأجران" باشد، آنگاه هوا "سالم" است.
۹. در شهر تهران، اگر  $NO_2 < 24.44$  و  $AQI > 151.17$  و  $CO > 2.53$  باشد و اعمال محدودیت‌ها "لغو طرح ترافیک تهران، محدودیت تردد بین استانی و حضور یک‌سوم کارکنان" باشد، آنگاه هوا "ناسالم" است.

## ۴- نتیجه گیری

پژوهش‌های صورت گرفته در زمینه تغییر غلظت آلاینده‌ها در دوره کووید-۱۹ با توجه به محدودیت‌های عنوان شده یکسان نیست. در پژوهش گونزالس پارادو و همکاران وی در سال ۲۰۲۲، غلظت آلاینده‌های  $PM_{2.5}$  و  $PM_{10}$  افزایش جزئی را نشان دادند، درحالی‌که غلظت همین آلاینده‌ها در پژوهش ساهاران و همکاران در سال ۲۰۲۲ که به مطالعه در شهر دهلی هند پرداخته بودند، کاهش را نشان دادند. نکته جالب توجه این است که در برخی پژوهش‌ها مانند پژوهش آل وی و همکاران در سال ۲۰۲۲ که تغییر غلظت آلاینده‌ها در چین را مورد بررسی قرار داده بودند مشخص شد که غلظت آلاینده  $PM_{2.5}$  در شهر ووهان، حدود ۴۴ درصد و در شهر پکن ۱۴ درصد کاهش یافته است. مشاهده می‌شود که کاهش صورت گرفته در این آلاینده در شهر ووهان، تقریباً بیش از ۳ برابر شهر پکن می‌باشد. در پژوهش گالتیری و همکارانش که در کشور ایتالیا و در سال ۲۰۲۰ انجام شد نیز این موضوع مشهود است به گونه‌ای که آلاینده  $PM_{2.5}$  در شهر پالرمو حدود ۳۲ درصد کاهش یافته است، درحالی‌که همین آلاینده در شهر ناپولی حدود ۷ درصد افزایش را نشان می‌دهد؛ بنابراین می‌توان گفت که ممکن است شرایط جغرافیایی و آب و هوایی، جهت وزش باد، ارتفاع شهر از سطح دریا، میزان بارش و عوامل دیگر نیز در غلظت آلاینده‌ها نقش داشته باشد که این موضوع پژوهش جداگانه‌ای نیاز دارد.

با رشد روزافزون غلظت آلاینده‌های هوا، توجه مدیران و دولت‌مردان به مؤلفه‌های زیست‌محیطی و عوامل انسانی مرتبط به منظور مدیریت بحران بیش‌ازپیش شده است. به این منظور تأثیر محدودیت‌های ترافیکی بر آلاینده‌های هوا بررسی می‌شود. قابل توجه است که اعمال محدودیت‌های ترافیکی در زمان کووید-۱۹، بیشتر و دقیق‌تر بود. کووید-۱۹ در سال ۲۰۱۹، توسط یک ویروس کرونای جدید تحت عنوان کووید-۱۹ ایجاد شده است. این بیماری در تمامی کشورهای همه قاره‌ها شیوع پیدا نمود و یک بحران جهانی را رقم زد که توسط سازمان بهداشت جهانی<sup>۱</sup> به عنوان یک بیماری همه‌گیر اعلام شد. از این رو، مدیریت این بحران در جهت کاهش غلظت آلاینده‌ها در سراسر جهان مورد توجه قرار گرفت. در ایران از بهمن‌ماه ۱۳۹۸، شیوع این بیماری اتفاق افتاد به گونه‌ای که نه تنها در ایران بلکه در تمامی کشورهای دنیا منجر به مرگ‌ومیر زیادی تا

<sup>۱</sup> World Health Organization (WHO)

زمان کنترل آن شد. این پژوهش مدلی از تغییرات غلظت آلاینده‌ها با توجه به محدودیت‌های ترافیکی اعمال شده در دوره همه‌گیری کووید-۱۹ در هشت کلان‌شهر ایران مبتنی بر روش‌های شاخص‌های آماری توصیفی و یادگیری ماشین را جهت بهبود عملکرد مدیریت بحران در همه‌گیری جدید و یا شرایط مشابه ارائه می‌کند. به‌منظور تجزیه و تحلیل تأثیر محدودیت‌های ترافیکی بر تغییرات غلظت آلاینده‌ها، ابتدا پاک‌سازی و پیش‌پردازش داده‌ها انجام شد. برای پیش‌بینی میزان غلظت آلاینده‌ها، ابتدا با روش انتخاب ویژگی مبتنی بر بهینه‌سازی ازدحام ذرات، ویژگی‌هایی از آلاینده‌ها به‌عنوان شاخص‌های اصلی شناسایی شدند که عبارتند از:  $CO$ ،  $O_3$ ،  $NO_2$ ،  $PM_{2.5}$ ،  $PM_{10}$  و  $AQI$  و سپس آزمایش‌هایی با استفاده از پنج روش یادگیری ماشین تحت عنوان درخت تصمیم، جنگل تصادفی، ماشین بردار پشتیبان، شبکه بیزین و شبکه عصبی پرسپترون برای دسته‌بندی شاخص کیفیت هوا به شش کلاس و نظارت بر تأثیر آلاینده‌های مختلف هوا در طول قرنطینه کووید-۱۹ مورد استفاده و مقایسه قرار گرفت. با استفاده از درخت تصمیم و جنگل تصادفی، قوانین مرتبط با غلظت آلاینده‌های هوا و محدودیت‌های ترافیکی تولید شدند. در بین مدل‌های ارائه شده، درخت تصمیم و جنگل تصادفی در تمامی معیارها از نظر صحت و فراخوانی، بیشترین مقادیر را نسبت به سایر روش‌ها داشتند؛ بنابراین از مدل درخت تصمیم و مدل جنگل تصادفی می‌توان برای پیش‌بینی کیفیت هوا در آینده استفاده نمود.

در پاسخ به سؤال اول پژوهش می‌توان گفت که در بررسی میزان غلظت آلاینده‌ها در دوران کووید-۱۹ نسبت به دوران قبل از آن برای کلان‌شهرهای ایران، در شهر اراک آلاینده  $O_3$  تغییر محسوسی نداشته و آلاینده‌های  $CO$  و  $SO_2$  کاهش و آلاینده‌های  $NO$ ،  $NO_2$ ،  $NO_x$ ،  $PM_{10}$ ،  $PM_{2.5}$  و  $AQI$  افزایش یافته‌اند. در شهر اصفهان برای آلاینده‌های  $SO_2$  و  $PM_{10}$  مقداری ثبت نشده است، آلاینده  $CO$  تغییر محسوسی نداشته و مابقی آلاینده‌ها یعنی  $O_3$ ،  $NO$ ،  $NO_2$ ،  $NO_x$ ،  $PM_{2.5}$  و  $AQI$  افزایش را نشان داده‌اند. در شهر اهواز برای آلاینده‌های  $NO$ ،  $NO_2$  و  $NO_x$  مقداری ثبت نشده است، آلاینده  $O_3$  تغییر محسوسی نداشته و آلاینده‌های  $SO_2$  و  $PM_{2.5}$  کاهش و آلاینده‌های  $CO$ ،  $PM_{10}$  و  $AQI$  افزایش یافته‌اند. در شهر تبریز آلاینده‌های  $CO$  و  $SO_2$  تغییر محسوسی نداشته‌اند، آلاینده‌های  $O_3$  و  $PM_{10}$  افزایش و آلاینده‌های  $NO$ ،  $NO_2$ ،  $NO_x$ ،  $CO$  و  $PM_{2.5}$  کاهش داشته‌اند. در شهر تهران، آلاینده‌های  $CO$ ،  $O_3$ ،  $NO_2$ ،  $PM_{2.5}$  و  $AQI$  افزایش و در



مقابل، آلاینده‌های  $NO$ ،  $NO_x$ ،  $SO_2$  و  $PM_{10}$  کاهش یافته‌اند. در شهر شیراز آلاینده  $SO_2$ ،  $PM_{10}$  و  $AQI$  افزایش و سایر آلاینده‌ها کاهش داشته‌اند. در شهر کرج میزان سه آلاینده  $CO$ ،  $O_3$  و  $SO_2$  روند کاهشی داشته و آلاینده‌های  $NO$ ،  $NO_2$ ،  $NO_x$ ،  $PM_{10}$ ،  $PM_{2.5}$  و  $AQI$  افزایش یافته‌اند. در شهر مشهد آلاینده‌های  $CO$ ،  $O_3$  و  $SO_2$  افزایش و آلاینده‌های  $NO$ ،  $NO_2$ ،  $NO_x$ ،  $PM_{10}$ ،  $PM_{2.5}$  و  $AQI$  کاهش داشته‌اند. در پاسخ به سؤال دوم پژوهش نیز باید گفت که تغییر غلظت پارامترها در شهرهای مختلف متفاوت می‌باشد و نمی‌توان یک الگوی یکسان برای کل شهرها در نظر گرفت و لازم است که هر شهر الگوی خاص خود را داشته باشد؛ بنابراین پژوهش‌هایی که یک یا چند شهر یک کشور و یا جهان را مورد مطالعه قرار داده و نتایج آن را به کل کشور و یا جهان تعمیم می‌دهند ممکن است دارای خطا بوده و نتوانند در تصمیم‌گیری‌های آتی، چندان قابل اطمینان باشند. نکته مهم و قابل تأمل، وجود فقط یک ایستگاه ثبت غلظت آلاینده در کلان‌شهرهای اهواز و اصفهان می‌باشد که لازم است در این خصوص تجدیدنظر صورت پذیرد و نکته دیگر اینکه، در شهر اهواز، ۳۸ درصد و در شهر اصفهان، ۲۵ درصد آلاینده‌ها در همان یک ایستگاه نیز ثبت نشده است، بنابراین همین موضوع ممکن است پیش‌بینی‌ها و همچنین ارائه و اجرای برنامه راهبردی برای شرایط مشابه را با خطا مواجه کند.

با بررسی غلظت آلاینده‌ها به تفکیک شهرها مشخص شد که غلظت آلاینده‌ها در دوران کووید-۱۹ نسبت به قبل از آن، در بعضی از شهرها افزایشی و در بعضی از شهرها کاهشی می‌باشد. به‌طور کلی می‌توان گفت که اعمال محدودیت‌های ترافیکی در دوره همه‌گیری، تأثیر قابل توجه و محسوسی در کاهش غلظت آلاینده‌های هوا نداشته است به گونه‌ای که شاخص کیفیت هوا که سازمان حفاظت محیط‌زیست کشور، سطح اهمیت بهداشتی را با آن موردسنجش قرار می‌دهد، در اکثر کلان‌شهرها نه تنها کاهش نداشته بلکه افزایش یافته است. البته این موضوع می‌تواند دلایل مختلفی داشته باشد که از آن جمله می‌توان به تردد با وسیله نقلیه شخصی به جای استفاده از وسایل نقلیه عمومی در اثر ترس و نگرانی از ابتلا به بیماری اشاره کرد. دلیل دیگر آن برداشته شدن برخی از محدودیت‌های ترافیکی و طرح‌های ترافیک به دلیل فراهم نمودن امکان استفاده از وسایل نقلیه شخصی توسط افراد در راستای رعایت فاصله‌گذاری اجتماعی می‌باشد. یکی از دلایل مهم دیگر که جای تأمل داشته و می‌تواند در پژوهش‌ها آتی نیز مورد توجه قرار گیرد، تأثیر سایر عوامل ایجاد آلودگی هوا شامل

صنایع، کارخانجات، پالایشگاه‌ها، نیروگاه‌ها، وارونگی دما، مصارف خانگی و موارد مشابه می‌باشد. در شهرهای شیراز، مشهد و تبریز وضعیت آلودگی هوا در دوره همه‌گیری کووید-۱۹ نسبت به دوره قبل از آن کمی بهتر از سایر شهرها می‌باشد به گونه‌ای که در دوره همه‌گیری و با اعمال محدودیت‌ها ترافیکی و قرنطینه، غلظت اکثر آلاینده‌ها کاهش یافته‌اند.

در کارهای آینده تصمیم بر آن شد که نتایج شاخص‌های کیفیت هوا در زمان کووید-۱۹ براساس روش‌هایی مانند اینترنت اشیا مورد بررسی قرار گیرد. همچنین شاخص‌های کیفیت هوا قبل و بعد از کووید-۱۹ براساس روش‌های تصمیم‌گیری چندمتغیره ارزیابی و مقایسه شود. نهایتاً سند راهبردی در راستای محدودیت‌های ارائه شده در زمان همه‌گیری یا شرایط مشابه جهت وضع قوانین ترافیکی جدید برای کاهش آلودگی هوا ارائه گردد.

## References

- Alava, J. J., & Singh, G. G. (2022). Changing air pollution and CO2 emissions during the COVID-19 pandemic: Lesson learned and future equity concerns of post-COVID recovery. *Environmental Science & Policy*, 130, 1-8. <https://doi.org/10.1016/j.envsci.2022.01.006>
- Bellaachia, A., & Guven, E. (2006). Predicting Breast Cancer Survivability Using Data Mining Techniques. *Age*, 58(13), 10-1103.
- Berry, M. J. A., & Linoff, G. (2000). *Mastering Data Mining: The Art and Science of Customer Relationship Management*. New York: John Wiley & Sons Inc.
- Berson, A., & Thearling, K. (1999). *Building data mining applications for CRM*. New York: McGraw-Hill, Inc.
- Clark, H., & Gruending, A. (2020). Invest in health and uphold rights to “build back better” after COVID-19. *Sexual and Reproductive Health Matters*, 28(2), 1781583. <http://doi.org/10.1080/26410397.2020.1781583>
- Forbes. (2020). Traffic Congestion Costs U.S. Cities Billions Of Dollars Every Year. 2020, from <https://www.forbes.com/sites/niallmccarthy/2020/03/10/traffic-congestion-costs-us-cities-billions-of-dollars-every-year-infographic/%2320eda7cb4ff8>
- González-Pardo, J., Ceballos-Santos, S., Manzanos, R., Santibáñez, M., & Fernández-Olmo, I. (2022). Estimating changes in air pollutant levels due to COVID-19 lockdown measures based on a business-as-usual prediction scenario using data mining models: A case-study for urban traffic sites in Spain. *Science of the Total Environment*, 823, 153786. <https://doi.org/10.1016/j.scitotenv.2022.153786>
- Gualtieri, G., Brilli, L., Carotenuto, F., Vagnoli, C., Zaldei, A., & Gioli, B. (2020). Quantifying road traffic impact on air quality in urban areas: a COVID19-induced lockdown analysis in Italy. *Environmental Pollution*, 267, 115682. <https://doi.org/10.1016/j.envpol.2020.115682>

- Hay, N., Onwuzurike, O., Roy, S. P., McNamara, P., McNamara, M. L., & McDonald, W. (2023). Impact of traffic on air pollution in a mid-sized urban city during COVID-19 lockdowns. *Air Quality, Atmosphere & Health*, 16(6), 1141-1152. <https://doi.org/10.1016/j.envpol.2020.115682>
- Haykin, S. (1998). *Neural networks: a comprehensive foundation*. New Jersey: Prentice Hall PTR.
- Ho, S. L., Yang, S., Ni, G., Lo, E. W., & Wong, H. C. C. (2005). A particle swarm optimization-based method for multiobjective design optimizations. *IEEE transactions on magnetics*, 41(5), 1756-1759. <https://doi.org/10.1109/TMAG.2005.846033>
- Hsu, C. W. (2003). A Practical Guide to Support Vector Classification. *Department of Computer Science, National Taiwan University*.
- Huangfu, P., & Atkinson, R. (2020). Long-term exposure to NO<sub>2</sub> and O<sub>3</sub> and all-cause and respiratory mortality: A systematic review and meta-analysis. *Environment international*, 144, 105998. <https://doi.org/10.1016/j.envint.2020.105998>
- Hudda, N., Simon, M. C., Patton, A. P., & Durant, J. L. (2020). Reductions in traffic-related black carbon and ultrafine particle number concentrations in an urban neighborhood during the COVID-19 pandemic. *Science of the Total Environment*, 742, 140931. <https://doi.org/10.1016/j.scitotenv.2020.140931>
- Jia, C., Fu, X., Bartelli, D., & Smith, L. (2020). Insignificant impact of the “Stay-At-Home” order on ambient air quality in the Memphis metropolitan area, USA. *Atmosphere*, 11(6), 630. <https://doi.org/10.3390/atmos11060630>
- Kantardzic, M. (2003). Data Mining: Concepts, models, methods, and algorithms. *Technometrics*, 45(3), 277.
- Larose, D. T. (2005). *Discovering knowledge in data: an introduction to data mining*. New York: John Wiley & Sons Inc.
- Lee, D., Robertson, C., McRae, C., & Baker, J. (2022). Quantifying the impact of air pollution on Covid-19 hospitalisation and death rates in Scotland. *Spatial and Spatio-temporal Epidemiology*, 42, 100523. <https://doi.org/10.1016/j.sste.2022.100523>
- Lin, G. Y., Chen, W. Y., Chieh, S. H., & Yang, Y. T. (2022). Chang impact analysis of level 3 COVID-19 alert on air pollution indicators using artificial neural network. *Ecological Informatics*, 69, 101674. <https://doi.org/10.1016/j.ecoinf.2022.101674>
- Liu, J., Lipsitt, J., Jerrett, M., & Zhu, Y. (2020). Decreases in near-road NO and NO<sub>2</sub> concentrations during the COVID-19 pandemic in California. *Environmental Science & Technology Letters*, 8(2), 161-167. <https://doi.org/10.1021/acs.estlett.0c00815>
- Lv, Y., Tian, H., Luo, L., Liu, S., Bai, X., Zhao, H., ... & Yang, J. (2022). Meteorology-normalized variations of air quality during the COVID-19 lockdown in three Chinese megacities. *Atmospheric Pollution Research*, 13(6), 101452. <https://doi.org/10.1016/j.apr.2022.101452>
- Munnoli, P. M., Nabapure, S., & Yeshavanth, G. (2020). Post-COVID-19 precautions based on lessons learned from past pandemics: a review. *Journal of Public Health*, 1–9. <https://doi.org/10.1007/s10389-020-01371-3>

- Patan, K. (2019). *Neural Networks*. Pp. 9-58. In: Patan, K. (eds). *Neural Networks Robust and Fault-Tolerant Control Neural-Network-Based Solutions*. Springer- Cham, Switzerland.
- Paul, A., Mukherjee, D. P., Das, P., Gangopadhyay, A., Chintia, A. R., & Kundu, S. (2018). Improved random forest for classification. *IEEE Transactions on Image Processing*, 27(8), 4012-4024. <https://doi.org/10.1109/TIP.2018.2834830>
- Saharan, U. S., Kumar, R., Tripathy, P., Sateesh, M., Garg, J., Sharma, S. K., & Mandal, T. K. (2022). Drivers of air pollution variability during second wave of COVID-19 in Delhi, India. *Urban Climate*, 41, 101059. <https://doi.org/10.1016/j.uclim.2021.101059>
- Sanchez-Lorenzo, A., Vaquero-Martínez, J., Calbó, J., Wild, M., Santurtún, A., Lopez-Bustins, J. A., ... & Antón, M. (2021). Did anomalous atmospheric circulation favor the spread of COVID-19 in Europe?. *Environmental research*, 194, 110626. <https://doi.org/10.1016/j.envres.2020.110626>
- Shangguan, Z., Wang, M. Y., & Sun, W. (2020). What caused the outbreak of COVID-19 in China: From the perspective of crisis management. *International journal of environmental research and public health*, 17(9), 3279. <https://doi.org/10.3390/ijerph17093279>
- Shen, L., Ochoa, J. J., & Bao, H. (2023). Strategies for Sustainable Urban Development-Addressing the Challenges of the 21st Century. *Buildings*, 13(4), 847. <https://doi.org/10.3390/buildings13040847>
- Ticehurst, J. L., Letcher, R. A., & Rissik, D. (2008). Integration modelling and decision support: A case study of the Coastal Lake Assessment and Management (CLAM) Tool. *Mathematics and Computers in Simulation*, 78(2-3), 435-449. <https://doi.org/10.1016/j.matcom.2008.01.024>
- Uday, U., Bethineedi, L. D., Hasanain, M., Ghazi, B. K., Nadeem, A., Patel, P., & Khalid, Z. (2022). Effect of COVID-19 on air pollution related illnesses in India. *Annals of medicine and surgery*, 78, 103871. <https://doi.org/10.1016/j.amsu.2022.103871>
- Wang, S., Ma, Y., Wang, Z., Wang, L., Chi, X., Ding, A., ... & Zhang, Y. (2021). Mobile monitoring of urban air quality at high spatial resolution by low-cost sensors: impacts of COVID-19 pandemic lockdown. *Atmospheric Chemistry and Physics*, 21(9), 7199-7215. <https://doi.org/10.5194/acp-21-7199-2021>
- Wen, C., Akram, R., Irfan, M., Iqbal, W., Dagar, V., Acevedo-Duqued, Á., & Saydaliev, H. B. (2022). The asymmetric nexus between air pollution and COVID-19: evidence from a non-linear panel autoregressive distributed lag model. *Environmental research*, 209, 112848. <https://doi.org/10.1016/j.envres.2022.112848>
- Wijnands, J. S., Nice, K. A., Seneviratne, S., Thompson, J., & Stevenson, M. (2022). The impact of the COVID-19 pandemic on air pollution: A global assessment using machine learning techniques. *Atmospheric Pollution Research*, 13(6), 101438. <https://doi.org/10.1016/j.apr.2022.101438>
- Xiang, J., Austin, E., Gould, T., Larson, T., Shirai, J., Liu, Y., ... & Seto, E. (2020). Impacts of the COVID-19 responses on traffic-related air pollution in a Northwestern US city. *Science of the Total Environment*, 747, 141325. <https://doi.org/10.1016/j.scitotenv.2020.141325>

Zeng, J., & Wang, C. (2022). Temporal characteristics and spatial heterogeneity of air quality changes due to the COVID-19 lockdown in China. *Resources, Conservation and Recycling*, 181, 106223. <https://doi.org/10.1016/j.resconrec.2022.106223>